

Aula 14

F 502 – Eletromagnetismo I

2º semestre de 2020

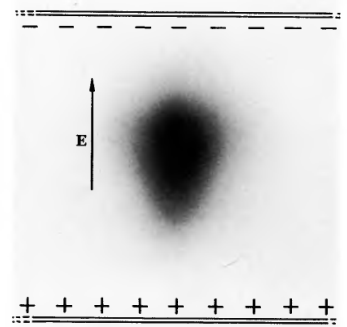
03/11/2020

Aula passada

Efeitos de campos elétricos na matéria

- Dipolos **induzidos**:

$$\mathbf{p} = \alpha \mathbf{E} \quad \alpha \rightarrow \text{polarizabilidade}$$



Polarização: dipolo total por unidade de volume

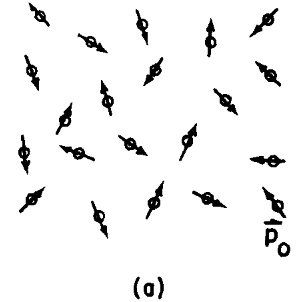
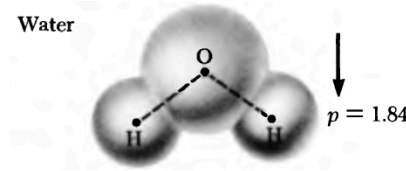
$$\mathbf{P} = \frac{\Delta \mathbf{p}}{\Delta V}$$

$$\Rightarrow \mathbf{P} = \chi_e \epsilon_0 \mathbf{E}$$

$\chi_e \rightarrow$ susceptibilidade elétrica

Aula passada

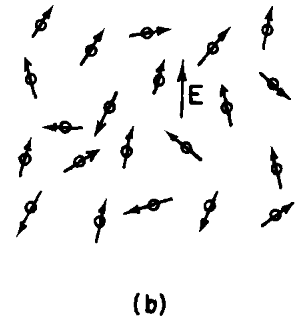
- Dipolos **permanentes**: o campo alinha os dipolos



O campo elétrico exerce um **torque** sobre o dipolo, que tende a alinhá-lo ao campo elétrico:

$$\mathbf{N} = \mathbf{p} \times \mathbf{E}$$

$$\Rightarrow \mathbf{P} = \chi_e \epsilon_0 \mathbf{E}$$



Aula passada

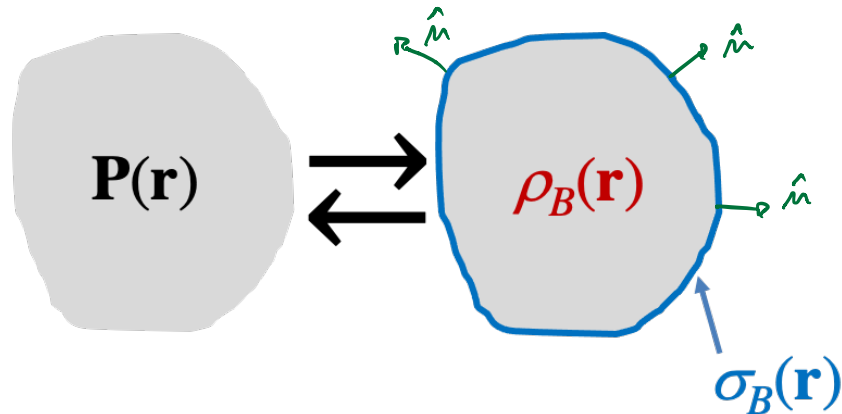
Um corpo com uma polarização $\mathbf{P}(\mathbf{r})$ é equivalente a (produz o **mesmo** campo elétrico que):

1. Uma densidade **volumétrica** de carga:

$$\rho_B(\mathbf{r}) = -\nabla \cdot \mathbf{P}(\mathbf{r})$$

2. E uma densidade **superficial** de carga em sua superfície:

$$\sigma_B(\mathbf{r}) = \hat{\mathbf{n}} \cdot \mathbf{P}(\mathbf{r})$$



Deslocamento elétrico

SITUAÇÃO ONDE HÁ DIELETRICOS E OUTRAS CARGAS (CONDUTORES, CARGAS PONTUAIS):

$$\rho = \rho_B + \rho_F$$

ρ_B : DENSIDADE DE CARGAS LIGADAS OU DE POLARIZAÇÃO (ELETRICOS)

ρ_F : RESTO \rightarrow CONDUTORES, CARGAS PONTUAIS

$$\Rightarrow \vec{\nabla} \cdot \vec{E} = \frac{1}{\epsilon_0} (\rho_B + \rho_F) = \frac{1}{\epsilon_0} (\rho_F - \vec{\nabla} \cdot \vec{P})$$

$$\epsilon_0 \vec{\nabla} \cdot \vec{E} + \vec{\nabla} \cdot \vec{P} = \rho_F$$

$$\vec{\nabla} \cdot (\underbrace{\vec{P} + \epsilon_0 \vec{E}}_{\vec{D}}) = \rho_F$$

\vec{D} : VETOR DESLOCAMENTO ELÉTRICO : $\vec{D} = \epsilon_0 \vec{E} + \vec{P}$

$$\Rightarrow \vec{\nabla} \cdot \vec{D} = \rho_F$$

FORMA INTEGRAL:

$$\oint_{S(V)} \vec{D} \cdot d\vec{S} = \int_V \rho_F dV = Q_F(V)$$

Eletrostática em meios materiais

$$\begin{aligned}\nabla \cdot \mathbf{D} &= \rho_F \\ \nabla \times \mathbf{E} &= 0\end{aligned}$$

PELO TEOREMA DE HELMHOLTZ, UM CAMPO VETORIAL SÓ É UNIVOCAMENTE DETERMINADO SE FOREM ESPECIFICADOS SEU DIVERGENTE E SEU ROTACIONAL AS EQUAÇÕES ACIMA SÃO, PORTANTO, INSUFICIENTES PARA RESOLVER O PROBLEMA. NA PRÁTICA:

(i) MEIOS LINEARES, $\vec{P} = \chi_e \epsilon_0 \vec{E}$, $\vec{D} = \epsilon_0 \vec{E} + \vec{P} = \epsilon_0 (1 + \chi_e) \vec{E}$

$\Rightarrow \boxed{\vec{D} = \epsilon \vec{E}}$, ONDE $\epsilon = \epsilon_0 (1 + \chi_e)$, $\epsilon_r = \frac{\epsilon}{\epsilon_0} = 1 + \chi_e$

ϵ : PERMISSIVIDADE DO MEIO

ϵ_r : " " RELATIVA DO MEIO = CONSTANTE DIELETRICA

Meios dielétricos lineares

$$\text{DADO } \epsilon : \quad \vec{\nabla} \cdot \vec{D} = \epsilon \vec{\nabla} \cdot \vec{E} = \rho_F$$

$$\left. \begin{array}{l} \vec{\nabla} \cdot \vec{E} = \rho_F / \epsilon \\ \vec{\nabla} \times \vec{E} = 0 \end{array} \right\} \begin{array}{l} \text{INFORMAÇÃO} \\ \text{SUFICIENTE} \end{array}$$

OUTRA POSSIBILIDADE :

$$(ii) \vec{P} \text{ É DADA : } \left. \begin{array}{l} \vec{\nabla} \cdot \vec{E} = \frac{1}{\epsilon_0} \rho_F - \frac{1}{\epsilon_0} \vec{\nabla} \cdot \vec{P} \\ \vec{\nabla} \times \vec{E} = 0 \end{array} \right\} \begin{array}{l} \text{INFORMAÇÃO} \\ \text{SUFICIENTE} \end{array}$$

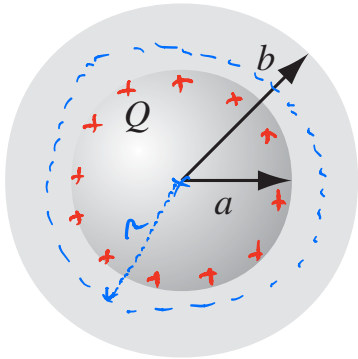
Constante dieléctrica

$$\epsilon > \epsilon_0$$

Material	Dielectric Constant	Material	Dielectric Constant
Vacuum	1	Benzene	2.28
Helium	1.000065	Diamond	5.7-5.9
Neon	1.00013	Salt	5.9
Hydrogen (H ₂)	1.000254	Silicon	11.7
Argon	1.000517	Methanol	33.0
Air (dry)	1.000536	Water	80.1
Nitrogen (N ₂)	1.000548	Ice (-30° C)	104
Water vapor (100° C)	1.00589	KTaNbO ₃ (0° C)	34,000

TABLE 4.2 Dielectric Constants (unless otherwise specified, values given are for 1 atm, 20° C). *Data from Handbook of Chemistry and Physics*, 91st ed. (Boca Raton: CRC Press, 2010).

Exemplo 4.5



Esfera condutora (raio a , carga Q), envolta por uma camada dielétrica (raio externo b , permissividade ϵ)

SIMETRIA ESFÉRICA:

$$\vec{E} = E_r(r) \hat{r}$$

$$\vec{D} = D_r(r) \hat{r}$$

$$\vec{P} = P_r(r) \hat{r}$$

$$\vec{\nabla} \cdot \vec{D} = \rho_f \Rightarrow \oint_{S(r)} \vec{D} \cdot d\vec{S} = Q_f(V) \Rightarrow 4\pi r^2 D_r(r) = Q_f(V)$$

(i) $r < a$: DENTRO DA ESFERA : $\vec{E} = 0$, $4\pi r^2 D_r(r) = 0 \Rightarrow \vec{D} = 0$
 $\vec{P} = 0$

(ii) $a < r < b$: $4\pi r^2 D_r(r) = Q \Rightarrow D_r(r) = \frac{Q}{4\pi r^2}$

$$\Rightarrow E_r = \frac{D_r}{\epsilon} = \frac{Q}{4\pi \epsilon r^2} ; P_r(r) = D_r(r) - \epsilon_0 E_r(r) = \left(1 - \frac{\epsilon_0}{\epsilon}\right) \frac{Q}{4\pi r^2}$$

$$(iii) r > b : D_r(r) = \frac{Q}{4\pi r^2}, \quad E_r(r) = \frac{Q}{4\pi\epsilon_0 r^2}$$

$$P_r(r) = 0$$

É A CARGA LIGADA? ELA ESTÁ NA CASCA DIELETRICA

$$\rho_B = -\vec{\nabla} \cdot \vec{P} = -\frac{1}{r^2} \frac{\partial}{\partial r} (r^2 P_r) = -\frac{1}{r^2} \frac{\partial}{\partial r} \left[r^2 \left(1 - \frac{\epsilon_0}{\epsilon}\right) \frac{Q}{4\pi r^2} \right] = 0$$

$$\sigma_B = \hat{n} \cdot \vec{P}$$

NA SUPERFÍCIE INTERNA DA CASCA: $\hat{n} = -\hat{r}$

$$\sigma_B(r=a) = -\hat{r} \cdot \vec{P} \Big|_{r=a} = -P_r(a) = -\left(1 - \frac{\epsilon_0}{\epsilon}\right) \frac{Q}{4\pi a^2}$$

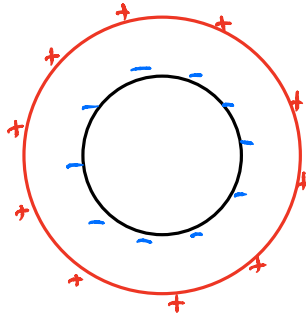
$$\sigma_B(r=a) = -\left(\frac{\epsilon - \epsilon_0}{\epsilon}\right) \frac{Q}{4\pi a^2}$$

NA SUPERFÍCIE EXTERNA DA CASCA: $\hat{n} = \hat{r}$

$$\sigma_B(r=b) = \hat{r} \cdot \vec{P} \Big|_{r=b} = \left(1 - \frac{\epsilon_0}{\epsilon}\right) \frac{Q}{4\pi b^2} = \left(\frac{\epsilon - \epsilon_0}{\epsilon}\right) \frac{Q}{4\pi b^2}$$

NOTE QUE, SE $Q > 0$, $\sigma_B(a) < 0$, $\sigma_B(b) > 0$

$Q > 0$



O CONDUTOR INDUZ CARGA

DE SINAL CONTRÁRIO NA

SUPERFÍCIE INTERNA DA CASCA.

PELA NEUTRALIDADE DA CASCA

DIELETRICA, SERÁ INDUZIDA

CARGA DE MESMO SINAL QUE

Q NA SUPERFÍCIE EXTERNA

DA CASCA.

$$Q_B(r=a) = \int \sigma_B(r=a) dS = - \left(\frac{\epsilon - \epsilon_0}{\epsilon} \right) \int \frac{Q dS}{4\pi a^2} = - \left(\frac{\epsilon - \epsilon_0}{\epsilon} \right) Q$$

$$Q_B(r=b) = \int \sigma_B(r=b) dS = \left(\frac{\epsilon - \epsilon_0}{\epsilon} \right) Q$$

$$Q_B(r=a) = - Q_B(r=b)$$

$$Q_T(r=a) = Q_F + Q_B(r=a) = Q - \left(\frac{\epsilon - \epsilon_0}{\epsilon} \right) Q = \left[1 - \left(\frac{\epsilon - \epsilon_0}{\epsilon} \right) \right] Q = \frac{\epsilon_0}{\epsilon} Q < Q$$

Exemplo 4.6

Capacitor de placas paralelas (área A ,
separação d), com um dielétrico no meio
(constante dielétrica ϵ_r) $\epsilon_r = \frac{\epsilon}{\epsilon_0} \Rightarrow \epsilon = \epsilon_0 \epsilon_r$

$$\oint \vec{D} \cdot d\vec{S} = Q_F(V) \quad \text{GAUSSIANA AO LADO}$$

$S(V)$

NA TAMPA DENTRO DO CONDUTOR:

$$\vec{E} = 0, \quad \vec{P} = 0, \quad \vec{J} = 0$$

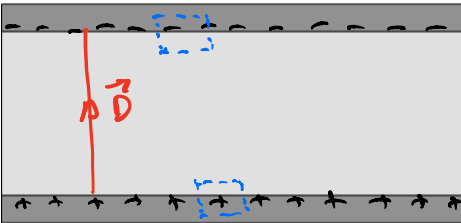
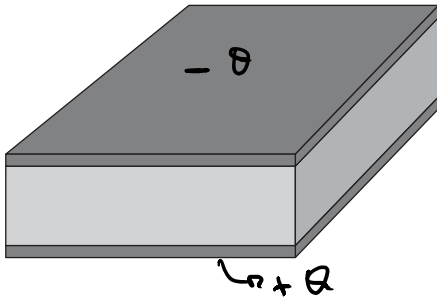
NO DIELÉTRICO, $\vec{D} \neq 0$:

$$\Rightarrow D \cancel{S} = Q_F(V) = \sigma_F \cancel{S} \quad \text{ONDE } \cancel{S} \text{ É A ÁREA}$$

DA TAMPA DA CAIXINHA

$$D = \sigma_F = \frac{Q}{A}$$

$$\Rightarrow E = \frac{D}{\epsilon} = \frac{Q}{\epsilon A}$$



DIFERENÇA DE POTENCIAL: $|\Delta V| = \left| -\int \vec{E} \cdot d\vec{Q} \right| = \frac{Q}{\epsilon A} d$

$$\Rightarrow C = \frac{Q}{|\Delta V|} = \frac{\epsilon A}{d} = \epsilon_r \underbrace{\left(\frac{\epsilon_0 A}{d} \right)}$$

C_0 : CAPACITÂNCIA NO VÁCUO

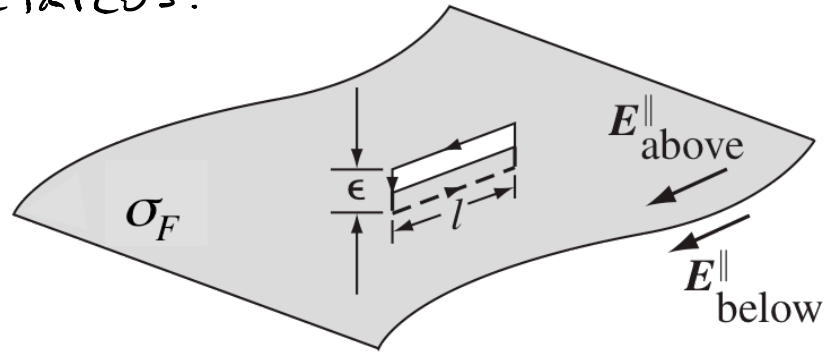
$$\Rightarrow \boxed{C = \epsilon_r C_0 > C_0}$$

Problemas de valor de contorno com dielétricos

CONDIÇÕES DE CONTORNO
NA PRESENÇA DE DIELETRICOS:

$$\text{DE: } \vec{\nabla} \times \vec{E} = 0$$

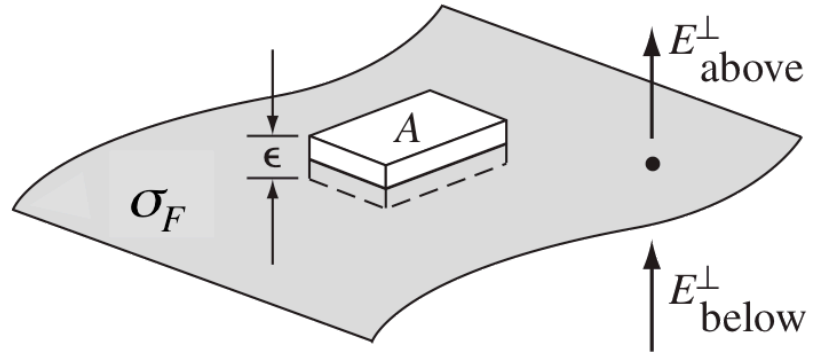
$$\Rightarrow \vec{E}_{\parallel \text{ ABOVE}} = \vec{E}_{\parallel \text{ BELOW}}$$



Problemas de valor de contorno com dielétricos

$$\nabla \cdot \mathbf{D} = \rho_F$$

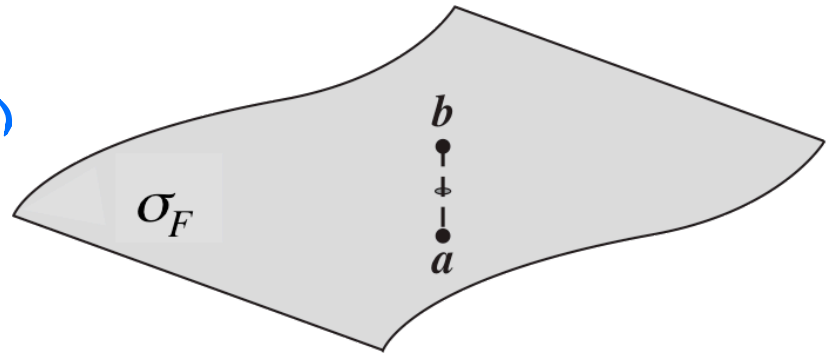
$$D_{n \text{ ABOVE}} - D_{n \text{ BELOW}} = \sigma_F$$



Problemas de valor de contorno com dielétricos

$$V = - \int_a^b \vec{E} \cdot d\vec{q}$$

$$V_a = V_b \text{ (CONTINUIDADE)}$$



Equação de Poisson em meios lineares

NUM MEIO LINEAR: $\vec{D} = \epsilon \vec{E}_0 \Rightarrow \vec{\nabla} \cdot \vec{E}_0 = \frac{\rho_F}{\epsilon}$

E $\vec{\nabla} \times \vec{E} = 0 \Leftrightarrow \vec{E} = -\vec{\nabla} V$

$$\nabla^2 V = -\frac{\rho_F}{\epsilon}$$

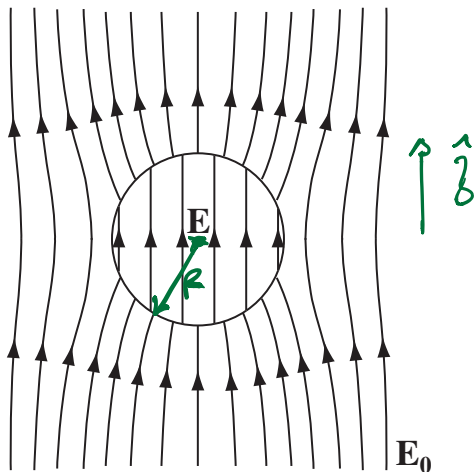
EM CADA MEIO LINEAR

SE HOUVER DIVERSOS MEIOS $\epsilon_1, \epsilon_2, \dots$

$$\nabla^2 V_1 = -\frac{\rho_F^1}{\epsilon_1} \quad ; \quad \nabla^2 V_2 = -\frac{\rho_F^2}{\epsilon_2} \quad , \dots$$

MAS \vec{E} PRECISO "CASAR" AS SOLUÇÕES V_1, V_2, \dots
NAS INTERFACES ENTRE OS MEIOS, USANDO AS
CONDIÇÕES CONTORNO DISCUTIDAS.

Exemplo 4.7: esfera dielétrica num campo uniforme



$$V(r, \theta) = \sum_{l=0}^{\infty} \left(A_l r^l + \frac{B_l}{r^{l+1}} \right) P_l(\cos \theta).$$

CAMPO EXTERNO : $\vec{E} = E_0 \hat{z}$

CONDIÇÕES DE CONTORNO:

(i) $V(r=R^-, \theta) = V(r=R^+, \theta) \quad \forall \theta$

(ii) $V(r \rightarrow \infty, \theta) = -E_0 z = -E_0 r \cos \theta \quad \forall \theta$

(iii) $D_n(r=R^+) = D_n(r=R^-)$ JA' QUE $\sigma_f = 0$

$\epsilon E_n(r=R^+) = \epsilon_0 E_n(r=R^-)$

$\vec{E} = -\vec{\nabla} V \Rightarrow E_n = -\frac{\partial V}{\partial r}$

$\Rightarrow \epsilon \frac{\partial V}{\partial r}(r, \theta) \Big|_{r=R^+} = -\epsilon_0 \frac{\partial V}{\partial r}(r, \theta) \Big|_{r=R^-} \quad \forall \theta$

$$i) E_{||}(\rho=R^+, \theta) = E_{||}(\rho=R^-, \theta) \quad \forall \theta$$

$$\frac{\partial V}{\partial \theta}(\rho=R^+, \theta) = \frac{\partial V}{\partial \theta}(\rho=R^-, \theta) \quad \forall \theta$$

$$\rho < R: V_D(\rho, \theta) = \sum_{l=0}^{\infty} \left(A_l \rho^l + \frac{B_l}{\rho^{(l+1)}} \right) P_l(\cos \theta)$$

$$\rho > R: V_E(\rho, \theta) = \sum_{l=0}^{\infty} \left(A'_l \rho^l + \frac{B'_l}{\rho^{(l+1)}} \right) P_l(\cos \theta)$$

DENTRO DA ESFERA, O POTENCIAL V_D NÃO PODE DIVERGIR QUANDO $\rho \rightarrow 0 \Rightarrow B_l = 0$

FORA DA ESFERA, PELA CONDIÇÃO (ii)

$$V_E(\rho \rightarrow \infty, \theta) \rightarrow -E_0 \rho \cos \theta \Rightarrow A'_0 = 0$$

$$V_E(\rho \rightarrow \infty, \theta) = A'_0 + A'_1 \rho \cos \theta + \sum_{l=2}^{\infty} A'_l \rho^l P_l(\cos \theta)$$

$$\boxed{A'_1 = -E_0}$$

$$A'_2 = A'_3 = \dots = 0$$

$$\rho > R: V_E(\rho, \theta) = -E_0 \rho \cos \theta + \sum_{l=0}^{\infty} \frac{B'_l}{\rho^{(l+1)}} P_l(\cos \theta)$$

CONDIÇÃO (ii):

$$V_D(r=R, \theta) = \sum_{l=0}^{\infty} A_l R^l P_l(\cos \theta) = V_F(R, \theta)$$

$$= -E_0 R \cos \theta + \sum_{l=0}^{\infty} \frac{B_l'}{R^{l+1}} P_l(\cos \theta)$$

$$\left\{ \begin{array}{l} l=0: A_0 = \frac{B_0'}{R} \\ l=1: A_1 R = -E_0 R + \frac{B_1'}{R^2} \Rightarrow \boxed{A_1 = -E_0 + \frac{B_1'}{R^3}} \quad (1) \\ l \geq 2: \boxed{A_l R^l = \frac{B_l'}{R^{l+1}}} \quad (3) \end{array} \right.$$

CONDICÃO (iii)

$$\frac{\epsilon}{\epsilon_0} \frac{\partial V}{\partial r} \Big|_{r=R^-} = \frac{\partial V}{\partial r} \Big|_{r=R^+}$$

$$\frac{\partial V_D}{\partial r} = \sum_{l=1}^{\infty} 2A_l R^{(l-1)} P_l(\cos\theta)$$

$$\frac{\partial V_F}{\partial r} = -E_0 \cos\theta - \sum_{l=0}^{\infty} (l+1) \frac{B_l'}{R^{(l+2)}} P_l(\cos\theta)$$

$$\Rightarrow \frac{\epsilon}{\epsilon_0} \left[\sum_{l=1}^{\infty} 2A_l R^{(l-1)} P_l(\cos\theta) \right] = -E_0 \cos\theta - \sum_{l=0}^{\infty} (l+1) \frac{B_l'}{R^{(l+2)}} P_l(\cos\theta)$$

$$l=0: \quad 0 = -\frac{B_0'}{R^2} \Rightarrow \boxed{B_0' = 0} \Rightarrow \boxed{A_0 = 0}$$

$$l=1: \quad \frac{\epsilon}{\epsilon_0} A_1 = -E_0 - \frac{2B_1'}{R^3} \Rightarrow \boxed{\frac{\epsilon}{\epsilon_0} A_1 = -E_0 - \frac{2B_1'}{R^3}} \quad (2)$$

$$l \geq 2: \quad \boxed{\frac{\epsilon}{\epsilon_0} 2A_l R^{(l-1)} = -\frac{(l+1)B_l'}{R^{(l+2)}}} \quad (4)$$

$$l=1?$$

$$(1) \quad A_1 = -E_0 + \frac{B_1'}{R^3}$$

$$(2) \quad \frac{\epsilon}{\epsilon_0} A_1 = -E_0 - \frac{2B_1'}{R^3}$$

$$2 \times (1) + (2) :$$

$$\Rightarrow 2A_1 + \frac{\epsilon}{\epsilon_0} A_1 = -2E_0 - E_0 = -3E_0$$

$$\text{"}$$
$$\left(2 + \frac{\epsilon}{\epsilon_0}\right) A_1 = -3E_0$$

$$\Rightarrow A_1 = -\left(\frac{3E_0}{2 + \epsilon/\epsilon_0}\right)$$

$$\frac{B_1'}{R^3} = A_1 + E_0 = \left[1 - \frac{3}{2 + \frac{\epsilon}{\epsilon_0}}\right] E_0$$

$$= \left(\frac{\epsilon/\epsilon_0 - 1}{\epsilon/\epsilon_0 + 2}\right) E_0$$

PARA $l \geq 2$: $A_l = B_l = 0$
(MOSTRE VOCÊ MESMO)

FINALMENTE:

$$\begin{cases} V_D(r, \theta) = -\frac{3E_0}{\epsilon/\epsilon_0 + 2} r \cos\theta \\ V_F(r, \theta) = -E_0 r \cos\theta + \left(\frac{\epsilon/\epsilon_0 - 1}{\epsilon/\epsilon_0 + 2}\right) \frac{E_0 R^3}{r^2} \cos\theta \end{cases}$$